

- НАС.// Детали машин; Сб. Научн. Тр. – Киев: Техника, 1992 - вып. 54 - С. 61-64.
3. Крагельский И. В. Трение и износ. – М.: Машиностроение, 1986. – 480 с.
4. Усов А. В., Дубров А. Н., Дмитришин Д. В. Моделирование систем с распределенными параметрами. – Одесса: Астропrint, 2002. – 664 с.

Одержано 14.06.07

*Використовуючи математичне моделювання стійкості контактної взаємодії абразивної частинки, показано, що інтенсивність зношування визначається умовами мікрорізання або тертя абразивного зерна з парою тертя з полімерним покриттям.*

*Using the mathematical model of abrasive particle contact co-operation stability, it was shown that intensity of wear is determined by terms of microcutting or friction of abrasive corn with the friction pair with polymeric coverage.*

УДК 621.9

Д-р техн. наук Ю. Н. Внуков, М. А. Шамровский

Национальный технический университет, г. Запорожье

## МЕТОД ОПРЕДЕЛЕНИЯ ПРОФИЛЯ КУЛАЧКА ПО МЕЖОСЕВОМУ РАССТОЯНИЮ ДО КРУГЛОГО ТОЛКАТЕЛЯ

*В статье показан вывод формул, устанавливающих математическую связь между профилем кулачка, представленным в полярных координатах, и законом возвратно-поступательного движения круглого толкателя. Выведенные зависимости являются основой для написания управляющих программ для станков с ЧПУ при высокоточном шлифовании профилей кулачков.*

### Введение

В практике при изготовлении и контроле профиля различных кулачков необходимо иметь точную математическую связь между профилем кулачка, заданно-

го в полярных координатах, и расстояниях  $X_C$  между осями вращения кулачка и круглого толкателя (рис. 1) при условии их касания.

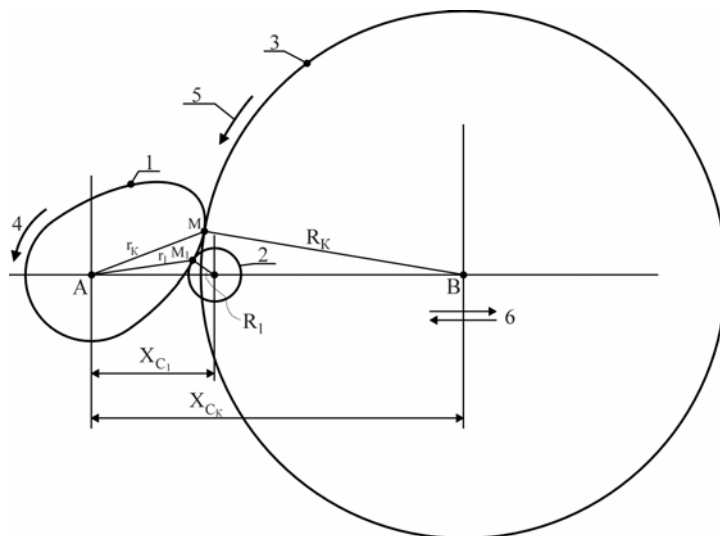


Рис. 1. Схема контактирования кулачка с круглым толкателем:

1 – контактная поверхность кулачка; 2 – контактная поверхность измерительного прибора; 3 – контактная поверхность шлифовального круга (ШК); 4 – вращение кулачка; 5 – вращение ШК; 6 – возвратно-поступательное движение оси ШК

На рис. 1. показано, что в качестве круглого толкателя может быть контактная поверхность щупа измерительного прибора – 2 для контроля профиля кулачка, а также рабочая поверхность шлифовального круга (ШК) – 3 при абразивном профилировании кулачка.

При шлифовании кулачков на станках с ЧПУ необходимо знать закон возвратно-поступательного движения шлифовальной бабки в зависимости от угла поворота кулачка. Более того, после правки ШК его радиус  $R$  уменьшается, изменяется место расположения точки касания ШК с кулачком  $M$ , что ведет к необходимости введения коррекции в массив данных, для сохранения высокой точности профиля кулачка при его шлифовании.

### Основная часть

Рассмотрим кулачок произвольной формы (рис. 2). Будем задавать контур кулачка в полярных координатах по формуле

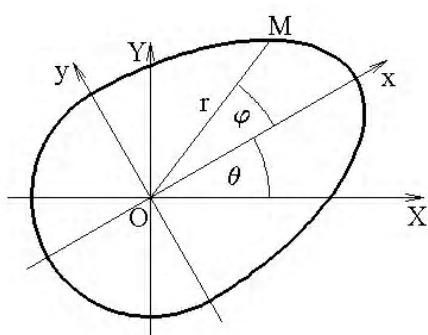
$$r = r(\varphi) \quad (1)$$

Ось  $x$  проходит вдоль оси симметрии кулачка. При вращении кулачка относительно точки  $O$  вместе с ним врачаются и оси координат  $X$  и  $Y$ .

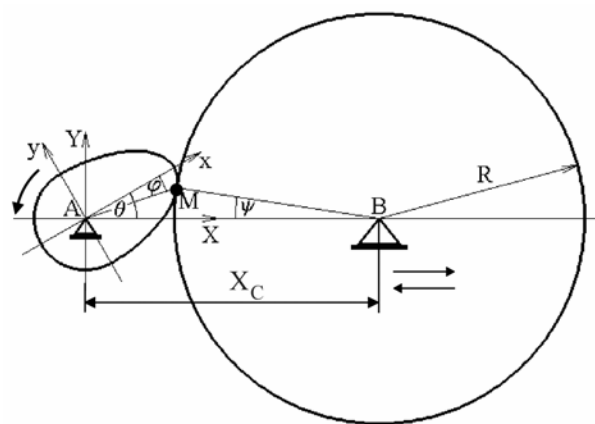
Введем в рассмотрение неподвижные оси координат  $X$  и  $Y$ . Взаимное расположение подвижных и неподвижных осей при повороте кулачка на некоторый заданный угол  $\theta$  изображено на рис. 2.

Угол поворота кулачка  $\theta$  положителен при повороте кулачка по часовой стрелке. Угол  $\varphi$  определяется алгебраически. Тригонометрические функции остаются стандартными, следовательно, для уравнений, использующих тригонометрические функции от  $\theta$ , необходимо сделать соответствующие математические преобразования для изменения знака.

Пусть теперь кулачок контактирует в точке  $M$  с ШК (рис. 3).



**Рис. 2.** Профіль кулачка в полярних координатах при вращенні:  $r$  – радіус кулачка;  $x$ ,  $y$  – подвижні осі координат;  $X$ ,  $Y$  – неподвижні осі координат;  $\theta$  – угол поворота кулачка



**Рис. 3.** Кулачок в контакте з ШК:  $x$ ,  $y$  – подвижні осі координат;  $X$ ,  $Y$  – неподвижні осі координат;  $\theta$  – угол поворота кулачка;  $\varphi$  – угол точки контакта кулачка з ШК в подвижних осіах;  $\psi$  – угол точки контакта кулачка з ШК

в неподвижній системі координат;  $X_C$  – межосеве розташування від осі обертання кулачка до осі обертання ШК;  $AM$  – радіус кулачка в полярних координатах;  $BM = R$  – радіус ШК

В подвижній системі координат зв'язь між полярними  $r$ ,  $\varphi$  і декартовими  $x$ ,  $y$  координатами произвольної точки  $M$  виражається формулами:

$$x = r(\varphi) \cos(\varphi); y = r(\varphi) \sin(\varphi). \quad (2)$$

Для неподвижної системи координат  $XY$  координати тій же точки  $M$  будуть:

$$X = r(\varphi) \cos(\theta - \varphi); Y = -r(\varphi) \sin(\theta - \varphi). \quad (3)$$

Заметим, что при указанном на рис. 3 взаимном расположении кулачка и ШК угол  $\varphi$  будет отрицательным, однако расчеты будем и далее вести для алгебраического значения  $\varphi$ , но так как угол  $\theta$  является отрицательным, то знак перед углом  $\varphi$  будет минус.

Итак, для заданного угла поворота кулачка  $\theta$  требуется найти расстояние  $|AB| = X_C$  между осями кулачка вращения и круга, а также углы  $\varphi$  и  $\psi$ , задающие положение точки контакта  $M$  по отношению к кулачку и кругу соответственно. Точка  $A$  – ось вращения кулачка, является неподвижной точкой начала отсчета при определении расстояния  $X_C$ .

Координаты точки  $M$  как точки кулачка выражаются формулами (3). Вычислим координаты этой же точки  $M$  для ШК:

$$X = X_C - R \cos \psi; Y = R \sin \psi. \quad (4)$$

Приравнивая значения координат из (3) и (4), получаем:

$$\begin{aligned} r(\varphi) \cos(\theta - \varphi) &= X_C - R \cos \psi \\ -r(\varphi) \sin(\theta - \varphi) &= R \sin \psi \end{aligned} \quad . \quad (5)$$

Два уравнения (5) содержат три неизвестные величины:  $X_C$ ,  $\varphi$  и  $\psi$ .

Для решения данной задачи необходимо составить третье уравнение с теми же неизвестными. Примем во внимание условие, что касательные в точке М для кулачка и ШК должны быть одинаковыми.

Для кулачка касательная в точке М будет:

$$k = \frac{dY}{dX} = \frac{dY/d\varphi}{dX/d\varphi} = -\frac{(dr/d\varphi)\sin(\theta - \varphi) - r(\varphi)\cos(\theta - \varphi)}{(dr/d\varphi)\cos(\theta - \varphi) + r(\varphi)\sin(\theta - \varphi)}. \quad (6)$$

Для ШК касательная перпендикулярна радиусу, следовательно,

$$k = \operatorname{tg}\left(\frac{\pi}{2} - \psi\right) = \operatorname{ctg}\psi. \quad (7)$$

Отсюда получаем третье уравнение, дополняющее два уравнения (5):

$$-\frac{(dr/d\varphi)\sin(\theta - \varphi) - r(\varphi)\cos(\theta - \varphi)}{(dr/d\varphi)\cos(\theta - \varphi) + r(\varphi)\sin(\theta - \varphi)} = \operatorname{ctg}\psi. \quad (8)$$

Рассмотрим решение построенных уравнений. Преобразуем (5) к виду:

$$\begin{aligned} R \cos \psi &= X_C - r(\varphi) \cos(\theta - \varphi) \\ R \sin \psi &= -r(\varphi) \sin(\theta - \varphi) \end{aligned} \quad . \quad (9)$$

Отсюда:

$$\begin{aligned} R^2 &= [X_C - r(\varphi) \cos(\theta - \varphi)]^2 + [-r(\varphi) \sin(\theta - \varphi)]^2 \\ -\operatorname{ctg}\psi &= \frac{X_C - r(\varphi) \cos(\theta - \varphi)}{r(\varphi) \sin(\theta - \varphi)} \end{aligned} \quad . \quad (10)$$

Подставляя второе из соотношений (10) в (8) и преобразуя первое из этих соотношений, окончательно получаем систему из двух уравнений:

$$\begin{aligned} F(s, \theta, r, \varphi) &= [X_C - r(\varphi) \cos(\theta - \varphi)]^2 + \\ &+ [r(\varphi) \sin(\theta - \varphi)]^2 - R^2 = 0 \\ G(s, \theta, r, \varphi) &= \left[ \frac{dr}{d\varphi} \sin(\theta - \varphi) - r(\varphi) \cos(\theta - \varphi) \right] \times \\ &\times r(\varphi) \sin(\theta - \varphi) - \left[ \frac{dr}{d\varphi} \cos(\theta - \varphi) + r(\varphi) \sin(\theta - \varphi) \right] \times \\ &\times [X_C - r(\varphi) \cos(\theta - \varphi)] = 0. \end{aligned} \quad (11)$$

Эта система решается численно при заданном  $\varphi$  из диапазона  $0 \leq \theta < 2\pi$  и заданном соотношении  $r = r(\varphi)$ . В результате получается искомое соотношение

$X_C = X_C(\theta)$ . Таким образом, используя систему уравнений (11), можно решить прямую задачу – определить профиль кулачка  $r = r(\varphi)$ , зная закон движения шлифовальной бабки  $X_C = X_C(\theta)$  от угла поворота кулачка, и обратную задачу – определить закон движения шлифовальной бабки  $X_C = X_C(\theta)$  от угла поворота кулачка  $\theta$ , зная профиль кулачка.

Покажем решение прямой задачи.

Пусть задана функция  $X_C = X_C(\theta)$ . Данная функция является формулой профиля кулачка, заданного в расстоянии от его оси вращения до оси ШК в зависимости от угла поворота кулачка  $\theta$ . Для поиска функции, указывающей профиль кулачка в полярных координатах  $r = r(\varphi)$ , вычислим полную производную по  $\theta$  от функции  $F$  из системы (11):

$$\frac{dF}{d\theta} = \frac{\partial F}{\partial X_C} \frac{dX_C}{d\theta} + \frac{\partial F}{\partial \theta} + \frac{\partial F}{\partial r} \frac{dr}{d\varphi} \frac{d\varphi}{d\theta} + \frac{\partial F}{\partial \varphi} \frac{d\varphi}{d\theta} = 0. \quad (12)$$

Здесь:

$$\frac{\partial F}{\partial X_C} = 2[X_C - r \cos(\theta - \varphi)],$$

$$\begin{aligned} \frac{\partial F}{\partial \theta} &= 2[X_C - r \cos(\theta - \varphi)]r \sin(\theta - \varphi) + \\ &+ 2r^2 \sin(\theta - \varphi) \cos(\theta - \varphi), \end{aligned}$$

$$\begin{aligned} \frac{\partial F}{\partial \varphi} &= -2[X_C - r \cos(\theta - \varphi)]r \sin(\theta - \varphi) - \\ &- 2r^2 \sin(\theta - \varphi) \cos(\theta - \varphi), \\ \frac{\partial F}{\partial r} &= -2[X_C - r \cos(\theta - \varphi)]\cos(\theta - \varphi) + \\ &+ 2r \sin^2(\theta - \varphi). \end{aligned} \quad (13)$$

Преобразуем последние два слагаемых из (12) к виду:

$$\frac{\partial F}{\partial r} \frac{dr}{d\varphi} \frac{d\varphi}{d\theta} + \frac{\partial F}{\partial \varphi} \frac{d\varphi}{d\theta} = \left( \frac{\partial F}{\partial r} \frac{dr}{d\varphi} + \frac{\partial F}{\partial \varphi} \right) \frac{d\varphi}{d\theta}. \quad (14)$$

Найдем  $dr/d\varphi$  из второго уравнения (1):

$$\frac{dr}{d\varphi} = \frac{[X_C - r \cos(\theta - \varphi)]r \sin(\theta - \varphi) + r^2 \sin(\theta - \varphi) \cos(\theta - \varphi)}{[X_C - r \cos(\theta - \varphi)]\cos(\theta - \varphi) + r \sin^2(\theta - \varphi)}. \quad (15)$$

С учетом выражений для  $\partial F / \partial \varphi$  и  $\partial F / \partial r$  (13) получаем, что сумма (14) равна нулю. В итоге из (12), с учетом (13), имеем:

$$\begin{aligned} & [X_C - r \cos(\theta - \varphi)] \frac{dX_C}{d\theta} + [X_C - r \cos(\theta - \varphi)] \times \\ & \times r \sin(\theta - \varphi) + r^2 \sin(\theta - \varphi) \cos(\theta - \varphi) = 0. \end{aligned} \quad (16)$$

Окончательно из (11) и (16) получаем два уравнения:

$$\begin{aligned} F(s, \theta, r, \varphi) &= [X_C - r \cos(\theta - \varphi)]^2 + [r \sin(\theta - \varphi)]^2 = 0 \\ H(s, \theta, r, \varphi) &= \frac{dX_C}{d\theta} + r \sin(\theta - \varphi) + \\ &+ \frac{r^2 \sin(\theta - \varphi) \cos(\theta - \varphi)}{X_C - r \cos(\theta - \varphi)} = 0. \end{aligned} \quad (17)$$

Решение данной системы уравнений удобнее получать численным методом. При заданных  $\theta$  и

$$X_C = X_C(\theta), \quad \frac{dX_C}{d\theta} = f(\theta) \text{ находим значения } \varphi \text{ и } r.$$

Повторяя операцию для ряда значений  $\theta$  из диапазона  $0 \leq \theta \leq 2\pi$ , получаем профиль кулачка  $r=r(\varphi)$ .

Приведем пример расчета профиля кулачка заданного в расстоянии  $X_C$  от оси вращения ШК к его профилю, заданному в полярных координатах, и, наоборот, от полярных координат профиля кулачка к значе-

ниям  $X_C = X_C(\theta)$  для круга с другим радиусом.

Для нахождения производных используются формулы интерполяции, разработанные одним из авторов и описанных в [2].

Проведем пересчет закона движения круглого толкателя радиусом 12,5 мм к закону движения ШК радиусом 250 мм.

Пересчет выполняется в 2 этапа:

на 1-м этапе по закону движения толкателя  $X_C = X_C(\theta)$  с радиусом 12,5 мм определяется профиль кулачка в полярных координатах. Для решения этой задачи написана программа CTOFIST.

Для данной программы подготавливают файл, используя данные таблицы 1, указывая радиус круглого толкателя (12,5 мм) и два коэффициента сглаживания.

На рис. 4 приведено традиционное изображение профиля кулачка, полученного в полярных координатах.

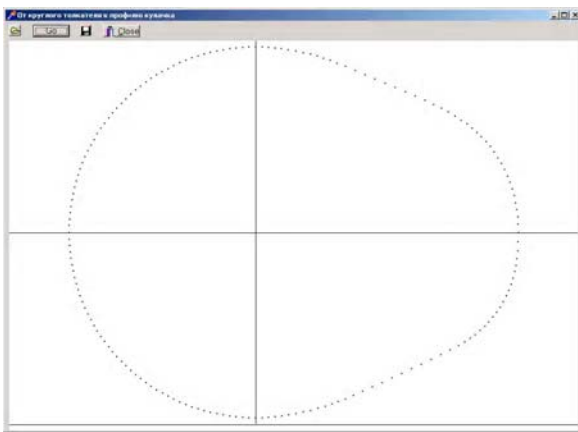
На 2-м этапе, используя файл с профилем кулачка в полярных координатах по программе FISTTOCH, определяют закон движения шлифовальной бабки от угла поворота кулачка  $\theta$  с ШК радиусом 250 мм.

Движение шлифовальной бабки в зоне круглой части кулачка (затылок) не показано.

Используя данные, полученные при приведенных выше пересчетах, строятся управляющие программы для шлифования кулачков на станках с ЧПУ.

Таблица 1

$\theta$	$X_C$								
-84.00	31.200	-50.00	32.701	-16.00	38.433	18.00	38.060	52.00	32.512
-82.00	31.201	-48.00	33.016	-14.00	38.571	20.00	37.864	54.00	32.239
-80.00	31.206	-46.00	33.367	-12.00	38.681	22.00	37.647	56.00	32.004
-78.00	31.217	-44.00	33.755	-10.00	38.763	24.00	37.408	58.00	31.808
-76.00	31.236	-42.00	34.177	-8.00	38.816	26.00	37.147	60.00	31.650
-74.00	31.264	-40.00	34.623	-6.00	38.841	28.00	36.865	62.00	31.530
-72.00	31.300	-38.00	35.071	-4.00	38.843	30.00	36.560	64.00	31.446
-70.00	31.344	-36.00	35.506	-2.00	38.843	32.00	36.233	66.00	31.393
-68.00	31.396	-34.00	35.919	0.00	38.843	34.00	35.885	68.00	31.356
-66.00	31.452	-32.00	36.308	2.00	38.840	36.00	35.514	70.00	31.320
-64.00	31.510	-30.00	36.672	4.00	38.819	38.00	35.127	72.00	31.286
-62.00	31.578	-28.00	37.008	6.00	38.775	40.00	34.733	74.00	31.254
-60.00	31.674	-26.00	37.316	8.00	38.710	42.00	34.338	76.00	31.227
-58.00	31.806	-24.00	37.596	10.00	38.623	44.00	33.941	78.00	31.207
-56.00	31.974	-22.00	37.848	12.00	38.515	46.00	33.546	80.00	31.200
-54.00	32.180	-20.00	38.071	14.00	38.385	48.00	33.168		
-52.00	32.422	-18.00	38.266	16.00	38.233	50.00	32.822		



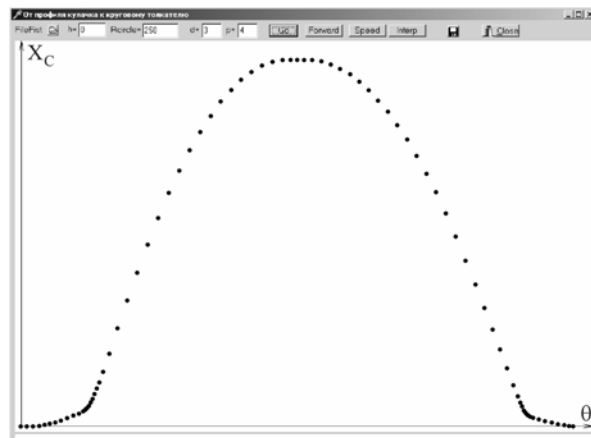
**Рис. 4.** Профиль кулачка рассчитанный по программе CTOFIST с исходными данными, заданными в таблице 1

### Вывод

В статье установлена математическая связь, позволяющая решать прямую задачу при определении профиля кулачка в полярных координатах по известному закону движения круглого толкателя. Эта задача может быть реализована для определения профиля кулачка по закону движения толкателя клапана двигателя внутреннего сгорания. Решение обратной задачи, в которой определяется закон возвратно-поступательного движения круглого толкателя разного диаметра по известному профилю кулачка в полярных координатах, может быть успешно реализовано при создании управляющих программ для станков с ЧПУ при шлифовании профиля кулачка.

*У статті отримано виведення формул, що встановлюють математичний зв'язок між профілем кулачка, який представлено в полярних координатах, і законом зворотно-поступального руху круглого штовхальника. Ці залежності є основою для створення програм для верстатів з ЧПУ при високоточному шліфуванні профілів кулачків.*

*Equation declaration which determine mathematical connection between cam profile had been presented by polar coordinates and principle of back-and-forth motion of round push bar has been shown. The derived dependencies are the base for writing of control programmes for CNC machines during high precision cam profile grinding.*



**Рис. 5.** Графическое изображение закона движения шлифовальной бабки от угла поворота кулачка  $\theta$ , рассчитанного по программе FISTTOCH для ШК радиусом 250 мм

### Перечень ссылок

1. Ю. Н. Внуков, М. А. Шамровский, Пути повышения точности и качества шлифования изделий с криволинейным профилем в поперечном сечении // Процеси механічної обробки в машинобудуванні: Праці Житомирського державного технологічного університету. – Вип. 3 – Житомир: ЖДТУ 2006. – С. 13-19.
2. Яхненко В. М., Шамровский М. А., Интерполяция независимыми отрезками // Прикладна геометрія та інженерна графіка: Праці Таврійської державної агротехнічної академії. – Вип. 4 Том 15 – Мелітополь ТДАТА 2002. – С. 85-89.

Одержано 15.05.2007